

## **استخدام مرشح المعدل mean في تحسين صور x-ray**

### **Using mean filter insetting image x-ray**

Abdown K. Al-Saady

Prof .Dr .lecturer

Auras Muse Omron AL- Hsniue

Asst. Lecturer

Physics Department - College of Science /Kerbala University

E-mail :- Auras . M.Omran

#### **الخلاصة :-**

إن أنظمة التصوير بشكل عام لا تعطي صوراً مثالية بالشكل المطلوب غالباً ماتطغى عليها تشوهات تحدد وضوح الصورة أو ضوضاء ناتجة من الظروف الجوية أثناء التصوير مثل الغبار أو حركة الجسم إثناء التصوير أو من عدم دق آلات التصوير نفسها. حيث إن الصورة الناتجة تكون ذات حافات عريضة وغير حادة وان أهم معلومات الصورة تكون محتوة في الحافات وحدود مناطق الصورة لذا فأن تخمين جودة الصورة يجب إن لا تأخذ بشكل عام لمستوي الصورة من دون تمييز مناطق الصورة المهمة.

تم في هذا البحث إزالة التشوهات في الصور الرقمية المأخوذة بواسطة الأشعة السينية باستخدام مرشح التعميم مثل مرشح المعدل (mean) وذلك باستخدام برنامج الحاسوب بلغة visual basic للحصول على صورة بأقل تشوه وأقل ضوضاء فضلاً عن الحصول على قدرة تحليل عالية.

وقد بيّنت نتائج البحث أمكانية الحصول على صور بأقل ضوضاء وقدرة تحليل عالية.

#### **Abstract**

The imaging systems in general do not give an ideal form images is often required by the distortions Mattgi identify and clear image or the noise resulting from weather conditions such as dust in the camera or the object during the photography or the lack of cameras may be the same.

The resulting image, where the edge of a broad and blunt, and the most important information is contained in the image and the borders of areas of Brinks therefore guess the picture quality of the image should not be taken in each year level of a distinction without a copy of the picture task.

To be complete in this seamier processing noise in digital image porter gate x-ray be completed filter soft exempla filter mean and complete program computer language visual basic receive in less noise aside from receive power decompose

#### **المقدمة**

يمكن للبعض أن يتصور أن المعالجة الرقمية للصور تعني فقط عمليات تزيين الصور و إدخال بعض الزخارف و الرسوم عليها أو حذفها لتظهر بعد ذلك في مظهر آخر يختلف عن الأصل. إلا أن المعالجة الرقمية للصور تتعدى ذلك بل إنها في الحقيقة تكاد لا تهتم بهذا الجانب من معالجة الصور أصلاً. حيث أنه يتم هنا التركيز على التشفير الرقمي المناسب للصور و إيجاد طرائق لمعالجة هذه البيانات الرقمية حتى تكون هذه الصور أو المعلومات التي تحملها الصور قابلة للاستعمال من قبل الآلة [1]. حيث أن الصورة الناتجة تكون ذات حافات عريضة وغير حادة وان أهم معلومات الصورة تكون محتوة في هذه الحافات وحدود مناطق الصورة لذا فأن تخمين جودة الصورة يجب أن لا تأخذ بشكل عام لكل مستوى للصورة من دون تمييز مناطق الصورة المهمة [2] .

ان الصور الرقمية مكونة من مئات الآلاف أو ملايين المربعات الصغيرة وتدعى عناصر الصورة أو بيكسلات ، فعندما يبدأ الحاسوب برسم الصورة فإنه يقوم بتقسيم الشاشة أو الصفحة المطبوعة إلى شبكة من البيكسلات وبعد ذلك يستخدم القيم المخزنة للصورة الرقمية ليعطي كل بيكسل لونه وسطوعه . وتدعى هذه الطريقة توضع الخانات bit mapping وتدعى الصور bit- [3] maps

تعتمد جودة الصورة الرقمية على عدد البيكسلات المكونة لها فكلما ازداد عدد البيكسلات فانه يؤدي الى نوعية أفضل . إذا ما تم تكبير الصورة الرقمية إلى حد معين ( يختلف من صورة لأخرى ) يلاحظ ظهور تشوه معين ناتج عن كون الصورة مرکبة من بيكسيلات ، ويدعى هذا التشوه Pixelization وكلما كان عدد البيكسلات كبيراً كلما تأخر ظهور هذا التشوه عند الكبير [4] . يحدد حجم الصورة بطرفيتين إما بأبعادها بالبيكسلات أو بعدد البيكسلات المكونة لها . مثلاً الصورة نفسها يمكن أن يقال أن حجمها  $1600 \times 1600$  بيكسل أو أن حجمها 2.88 مليون بيكسل (  $1600 \times 1600$  )[5] .

### **الجزء النظري theoretical part**

عملية الرقمنة للصور ينبع من مجالين أساسيين هما : تحسين المعلومات المقدمة لتسهيل تفسيرها وفهمها للبشر و معالجة بيانات الصورة لأغراض (التخزين على أوساط مختلفة ، إرسال الصورة من مكان لأخر بأقل عرض نطاق ممكن ، الإدراك الآلي للصورة ومحفوبياتها بدون مساعدة بشرية وهذا قليل من كثير من أغراض المعالجة الرقمية للصور) [6] .

### **المقصود بالمعالجة الرقمية للصور:**

يمكن تعريف أي صورة على أنها دالة ذات بعدين  $f(x, y)$  two dimensional function حيث  $x, y$  هما إحداثيات مستوية ، وتشمي قيمة الدالة  $f$  عند أي زوج من الإحداثيات بـ " المستوى الرمادي " gray level أو الشدة intensity عند هذه النقطة . تسمى الصورة بـ " الصورة الرقمية " عندما تكون قيم  $f_{x,y}$  كلها تنتهي لمجموعة من القيم المحددة discrete quantities . عندما تتم معالجة الصور الرقمية بواسطة الحاسوب يسمى هذا المجال بـ " المعالجة الرقمية للصور" [4] . مما سبق نجد أن الصورة الرقمية تتكون من عدد محدود من العناصر لكل منها موقع وفيème محددين . تسمى هذه العناصر image elements أو pixels أو picture elements أو elements . من المعروف أن الصورة تلعب دورا هاما في اكتساب البشر للمعلومات . إلا أن الإدراك البشري للصورة ينحصر في تلك الصور التي تقع في النطاق المرئي من الطيف الكهرومغناطيسي . خلافاً لذلك نجد أن آلات التصوير تستطيع تعطية الطيف الكهرومغناطيسي كله بداية من أشعة جاما وحتى أمواج الراديو . والامثلة على ذلك الصور المولدة بالموجات فوق الصوتية والصور المولدة بالحاسوب والتصوير بالمجهر الإلكتروني و....الخ [5]

### **معالجة الصور :image processing**

هي عملية يكون دخلها صورة وخرجها صورة أخرى مثل خوارزميات تحسين الصورة [6] . إلا أنه يمكن تقسيم العمليات التي يستخدم فيها الحاسوب هذا المجال إلى ثلاثة مستويات [7] . عمليات ذات مستوى منخفض والتي تتضمن إزالة التشوه وتحسين التباين وزيادة حدة الصورة . ويمكن وصف هذه العمليات بأنها تلك العمليات التي يكون دخلها صورة وخرجها صورة . عمليات ذات مستوى متوسط والتي تتضمن تقسيم الصورة إلى مناطق أو عناصر ثم وصف هذه العناصر لاختزالها إلى تمثيل صالح للمعالجة بالحاسوب ، كما تشمل أيضاً عمليات التعرف على عناصر محددة بالصورة . ويمكن وصف عمليات المستوى المتوسط بكونها عمليات يكون دخلها صورة وخرجها خصائص وسمات مستخلصة من هذه الصورة ، مثل ذلك أطر العناصر وهوية تلك العناصر .

عمليات ذات مستوى عال وهذه تتضمن عملية فهم أو إدراك " making sense " لمجموعة من العناصر التي تم التعرف عليها وفي قمة عمليات هذا المستوى تأتي عمليات التعلم واكتساب المعرفة المرتبطة بالرؤية بالحاسوب . من كل ما سبق نجد أن التداخل بين كل من معالجة وتحليل الصور يتمثل في عمليات التعرف على مناطق أو عناصر معينة تنتهي للصورة . وبالتالي يمكن وصف المعالجة الرقمية للصور على أنها العملية التي يكون دخلها وخرجها صورة بالإضافة إلى عمليات استخلاص خصائص وسمات الصورة وحتى التعرف على العناصر التي تنتهي للصورة . كمثال على ذلك فإن الحصول على صورة لنص ثم إعدادها ثم نقطيع الصورة إلى حروف ثم تمثيل هذه الحروف في تمثيل صالح للمعالجة بواسطة الحاسوب ثم التعرف على هذه الحروف ، وهذا ما يطلق عليه التعرف الضوئي على الأحرف Optical character recognition ، كل من هذه العمليات يقع في نطاق المعالجة الرقمية للصور [8] .

### **النتائج والمناقشة : Results and Discussion**

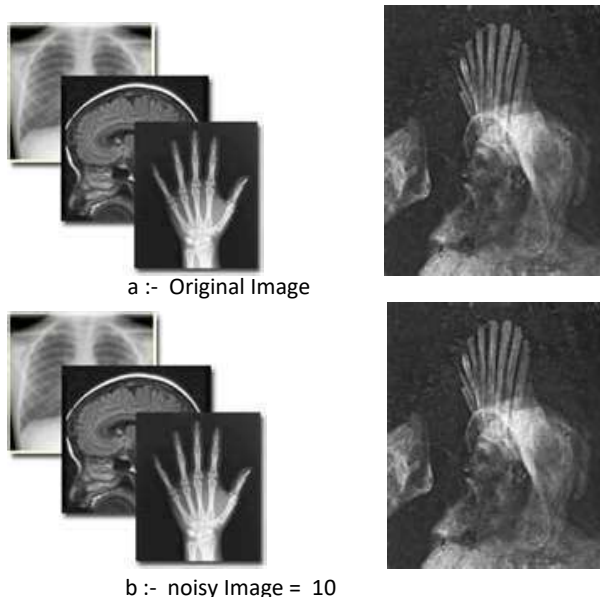
كثيراً ما تتعرض الصورة إلى الضوضاء والتشوه الناتج من مصادر مختلفة منها عملية ترقيم الصورة والأخطاء الناتجة عن عدم تجانس أحجام حبيبات فيلم التصوير الفوتوغرافي وتأثير فيزيائي مثل الاستطارة والتداخل والانعكاس وأخرى ناتجة عن منظومات التصور الالكترونية .

لذا فإن جودة الصورة الناتجة عادة تعتمد على قدرة المتصفح التحليلية وطبيعة سطح الجسم وعلى الظروف المحيطة بعملية التصوير . تم دراسة التشوهات التي تسببها المرشحات لإزالة الضوضاء الجمعية (الكاوسية) من الصور الرقمية حيث استخدم مرشح التعليم التقليدي الذي يعمل في المجال الفضائي ذات النافذة المترافق المربعة .

#### **الصورة المعتمدة في الدراسة**

لقد اعتمدت صورتان في الدراسة الحالية وهي صورة الآثار وعظام ومخ الإنسان وهم صورتان حقيقيتان خاليتان من التشوهات بحجم  $(256 \times 256)$  عنصر ومستويات الشدة الرمادية لهما تتراوح ما بين  $(0 \rightarrow 255)$  كما في شكل (1) .

لقد اعتمدنا على الضوضاء الكاوسية Gaussian noise في دراستنا هذه بانحراف معياري  $\sigma = 10$  وبمعدل  $0 = \mu$  حيث تمت إضافة الضوضاء الكاوسية إلى الصورة الأصلية الخالية من الضوضاء للحصول على صور مشوهة بالضوضاء الكاوسية وهذه الصورة موضحة .



**الشكل (1)**

(a) صورتا الآثار وعظام ومخ الإنسان الأصليتين , (b) صورتا الآثار وعظام ومخ الإنسان المشوختين بضوضاء كاوسية بنسبة مختلفة .

حيث استخدم تأثير المرشح الرقمي التقليدي (مرشح المعدل) لاختزال هذه الضوضاء ودراسة مقدار التشوهات التي يسببها هذه المرشح الناتج كما مبين في الشكلين (3,2) .

**نتائج الاختبارات الكمية**

نستقطع خمسة مقاطع من مناطق متجانسة من الصورة ذات تدرجات رمادية مختلفة ( $\mu$ ) ويوضح الجدولين (2,1) خصائص هذه المناطق المستقطعة من معدل وانحراف معياري لصورتي الآثار وعظام ومخ الإنسان على التوالي.

**الجدول (2)**

**الجدول (1)**

	Mean ( $\mu$ )	STD (σ)
R1	56	6.55
R2	107	7.41
R3	194	6.24
R4	148	29.02
R5	221	16.57

	Mean ( $\mu$ )	STD (σ)
R1	57	5.61
R2	99	6.97
R3	127	6.74
R4	182	10.48
R5	208	6.81

درست خصائص المناطق المتجانسة قبل وبعد إضافة الضوضاء وبعد تطبيق مرشح التعيم تم أيضا دراسة المعدل  $\mu$  وقيم نسب الإشارة إلى الضوضاء SNR. لهذه المناطق وتأثير عملية الترشيح وتكرارها إذ تبين أن المعدل  $\mu$  ثابت مستقر تقريبا في جميع الحالات للمرشح. مع عدد تكرارات عملية التعيم itr في صورة الآثار بينما في صورة العظام والمخ للإنسان يحدث تغير في قيم المعدل ( $\mu$ ) مع عدد التكرارات لعملية التعيم itr في المناطق المتجانسة كما كم مبين في الشكل (4).  
أن معدل مربع الخطأ العياري للمناطق المستقطعة يلاحظ أن زيادة عدد مرات التعيم سوف يؤدي إلى ازدياد مقدار NMES2 كما يلاحظ بشكل عام انخفاض هذا الخطأ عند استخدام نافذة 5\*5 وهناك مناطق متجانسة ملحوظة في صورتي الآثار وعظام والمخ للإنسان كما مبين في الشكل (5).

يحصل تغير بسيط في STD للمناطق المستقطعة لذلك نستنتج عدم وجود ضوضاء تؤثر على صورتي الآثار وعظام والمخ للإنسان كما مبين في الشكل (6).

اما بالنسبة للتباين لكل صورة فإنه باستخدام مرشح المعدل نلاحظ تغيرا بسيطا في التباين وخاصة في المناطق الحافية في صورتي الآثار وعظام والمخ للإنسان كما مبين في الشكلين (8,7) على التوالي.  
لقد تم في هذا البحث دراسة الانتروبي لكل الصورة حيث نلاحظ تغيرا ملحوظا في قيمة الانتروبي للمناطق الحافية بينما تكون ثابتة في المنطقة المتجانسة في صورة الآثار كما مبين في الشكل (9) بينما تكون ثابتة تقريبا في صورة عظام والمخ للإنسان كما مبين في الشكل (10).

والانتروبي للمناطق المستقطعة لا يتغير تغيرا واضح في الانتروبي ولذلك لعدم تأثير النظام وعدم تشوه ترتيبه لذلك فإنه يكون شبه مستقر في صورتي الآثار وعظام ومخ الإنسان كما ملاحظ في الشكل (11).

يكون هناك تغيرا واضحا في قيم التباين بالنسبة للمناطق المستقطعة مع زيادة عملية التعيم نلاحظ في هذه المنطقة المتجانسة في مرشح المعدل لصورتي الآثار وعظام والمخ للإنسان كما مبين في الشكلين (13,12) على التوالي بعد إضافة الضوضاء الكالوسية ذات الانحراف المعياري  $10 = \sigma$  إلى صورة عظام والمخ للإنسان و  $10 = \sigma$  إلى صورة الآثار لا يتغير المعدل ( $\mu$ ) بالنسبة لعدد التكرارات لعملية التعيم itr .اما بالنسبة للضوضاء ذات الانحراف المعياري  $10 = \sigma$  يكون فيه تغير بسيط في معدل المناطق المستقطعة مما يدل على وجود الضوضاء التي أدت إلى التغير كما مبين في الشكل (14).  
اما بالنسبة إلى نسبة الإشارة إلى الضوضاء SNR للمناطق المستقطعة المتجانسة وبإضافة الضوضاء ذات الانحراف المعياري  $10 = \sigma$  لصورة عظام والمخ للإنسان أما بالنسبة لصورة الآثار عند إضافة ضوضاء ذات انحراف معياري  $10 = \sigma$  فإنه يحدث تناقص في المرشح عند استخدام نافذة 5\*5 اما بالنسبة إلى صورة عظام والمخ للإنسان فأنتا نلاحظ القيم تبدأ بالتناقص في مرشح المعدل في انحراف  $10 = \sigma$  ويحدث انخفاض ومن ثم مرتفعا ارتفاعا ملحوظا هذا بسبب وجود المنطقة المتجانسة كما مبين في الشكل (15).

اما الانتروبي بعد إضافة الضوضاء يتغير التباين في مناطق الحافية وغير الحافية بشكل واضح عند تطبيق أول تكرار لعملية التعيم حيث إن عناصر الصورة بعد أول ترشيح تختزل فيها الضوضاء وتتخفي فيها العشوائية لذا فإن الانتروبي ينخفض أيضا اما بعد التكرار الأول فان الانتروبي تأخذ قيمته بالاستقرار والتباين في المناطق الحافية لذلك يلاحظ بان الانتروبي لمناطق

## مجلة جامعة كربلاء العلمية – المجلد الثامن - العدد الأول / علمي / 2010

الصورة الحافية عادة يكون أقل بكثير منه لمنطقة الصورة غير الحافية هذا بالنسبة إلى صورة الآثار والعظم والمخ الأنسان كما مبين في الشكلين (16,17).

إما التباين لكل الصورة فنلاحظ بان تصميم التباين لكل صوره يكون عدد التكرارات لعملية التعيم  $Itr$  والتباين وهذا في المناطق المتتجانسة للصورة، بينما ينخفض التباين بشكل واضح مع زيادة عدد مرات التعيم إما تباين المناطق الحافية فانه يزداد مع زيادة عدد مرات التعيم في صورتي الآثار وعظم والمخ الأنسان عند إضافة ضوضاء الى صورة عظام والمخ الإنسان حيث استقرارية وظهور مناطق متتجانسة ملحوظة اما بالنسبة لصورة الآثار يحدث تغير بسيط في مرشح المعدل كما مبين في الشكل (18).

يحدث انخفاض في الانتروبي بشكل بسيط ولجميع المناطق المتتجانسة للصورة ويبدأ بالاستقرار عند تكرار المتابعة هذا بالنسبة إلى صورة الآثار اما لصورة العظام والمخ الأنسان ذات الانحراف المعياري  $S = 10$  يحدث تغير ملحوظ في القيم مما يؤدي الى ظهور هذه النتيجة التي تدل على وجود الضوضاء في المناطق المستقطعة كما مبين في الشكل (19).

في المنطقة الحافية لكل الصورة يكون الانتروبي ثابت لكن هناك اختلاف بسيط عند إضافة الضوضاء ذات انحراف معياري  $S = 5$  لصورة العظام والمخ الإنسان بينما في صورة الآثار يكون شبه مستقر عند إضافة ضوضاء ذات انحراف معياري  $S = 10$  كما مبين في الشكلين (20,21) على التوالي.

عند إضافة الضوضاء في المناطق المستقطعة ينخفض الانتروبي بشكل بسيط ولجميع مناطق الصورة المتتجانسة ويبدأ بالاستقرار عند التكرارات المتابعة في صورة الآثار اما في صورة عظام والمخ الإنسان فيوجد تغير ملحوظ في القيم مما أدى إلى ظهور هذه الرسوم التي تشير على وجود الضوضاء في المناطق المستقطعة كما مبين في الشكل (22).

إما التباين للمناطق المستقطعة نلاحظ انخفاض في للمناطق المتتجانسة وينخفض اكبر بعد اجراء التكرار الأول لعملية التعيم ثم يأخذ بالتباين التدريجي والسبب في ذلك هو انخفاض الضوضاء في الصورة واختلاف مناطق الصورة المتتجانسة مما يؤدي إلى انخفاض التباين بشكل عام كما مبين في الشكلين (23,24) على التوالي

### 5-2 الاستنتاجات

تحت دراسة تأثير عملية التعيم على الصور الأصلية والمشوهة بالضوضاء الكاوسيّة ولحالات مختلفة وكانت النتائج كالتالي :-

لقد أظهرت النتائج كفاءة المرشح التقليدي في تعيم الصورة بشكل كبير ولكن يرافق ذلك اختفاء معالم مهمة في المناطق الحافية من الصورة

لقد أعطت المعايير الكمية المستخدمة وهي حفظ المعدل ( $\mu$ ) ونسبة الإشارة إلى الضوضاء (SNR) في مناطق الصورة المتتجانسة رصانة عالية في تحديد كفاءة الترشيح للمرشح وأظهرت معايير الجودة الكمية المقترنة NMSE إمكانية عالية في تخمين كفاءة الترشيح في مناطق الصورة الكلية ، والمتتجانسة والحفافية في الصورة المعالجة .

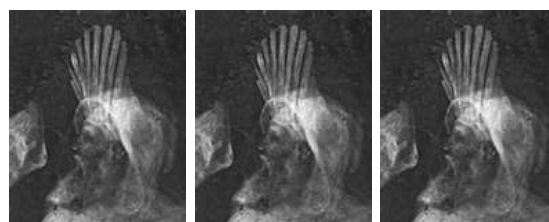
كثيراً ما تتعرض الصورة إلى الضوضاء والتدخل من مصادر مختلفة منها الناتجة من ترميز وترقيم والاخفاء الناتجة احجام حبيبات فيلم التصوير بالأشعة وتاثيرات الفيزيائية مثل الاستطرارة والتدخل والانعكاس فقد تم في هذا البحث دراسة الضوضاء الكاوسيّة وتاثيرات و اسباب ظهورها وتأثيرها ومعالجتها باستخدام مرشحات التعيم الرقمية التي تعمل في المجال الفضائي التقليدي والمحسنة ذات النوافذ المربعة وكانت النتائج كالتالي :-

اظهرت النتائج كفاءة المرشحات التقليدية في تعيم الصورة بشكل كبير ولكن يرافق ذلك اختفاء معالم مهمة في المناطق الحافية من الصورة في حين تميزت المرشحات المحسنة بقدرتها الجيدة على تعيم الصورة مع الحفاظ على الحفافات والتفاصيل الدقيقة. كما أعطى معيار الجودة الكمي المقترن NMSE إمكانية عالية في تخمين كفاءة الترشيح في مناطق الصورة الكلية ، والمتتجانسة والحفافية في الصورة المعالجة. وأعطى معيار حساب  $\mu$  وحساب SNR إمكانية جيدة في تخمين كفاءة الترشيح في المناطق الصورة المعالجة .

$Itr = 3$

$Itr = 2$

$Itr = 1$

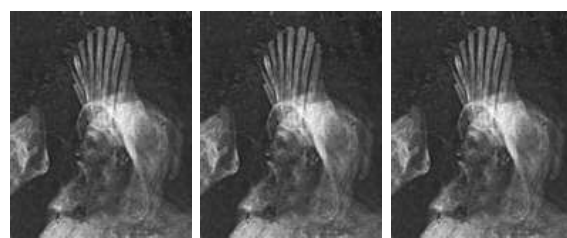


الشكل (2) الصورة الأصلية (الخالية من الضوضاء) المنعمّة باستخدام المرشح (المعدل) ولنواذ تعيم ( $5*5,3*3$ ) لكرارات متعددة .

Itr =3

Itr =2

Itr =1



Mean Filter 5\*5



تابع للشكل (2)

Itr =3

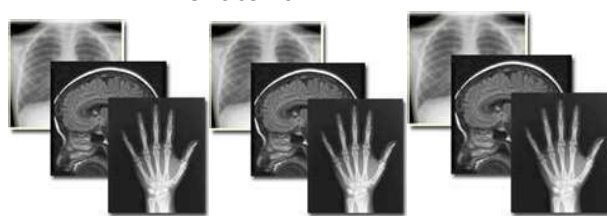
Itr =2

Itr =1



Mean Filter 3\*3

G noise=10



G Mean Filter 3\*3

noise=10

الشكل (3) الصورة المشوبة بضوضاء كاووسية ( $\sigma = 10$ ) والمنعممة باستخدام المرشح (المعدل) باعتماد نافذة (5\*5) ولتكرارات متعددة .

Itr =3



Mean Filter 5\*5

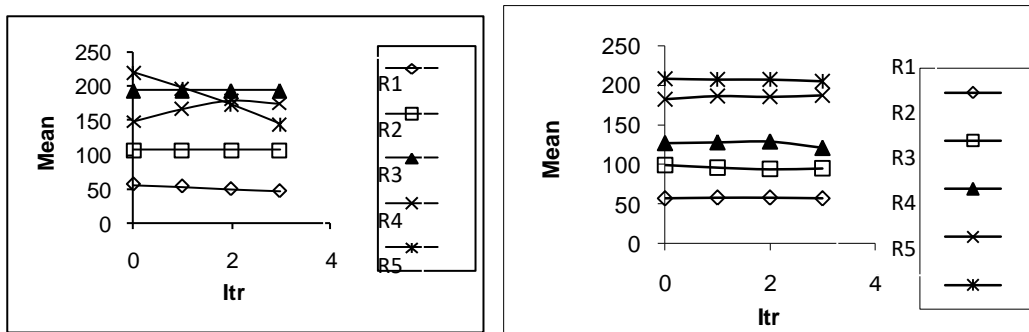
G noise =10



Mean Filter 5\*5

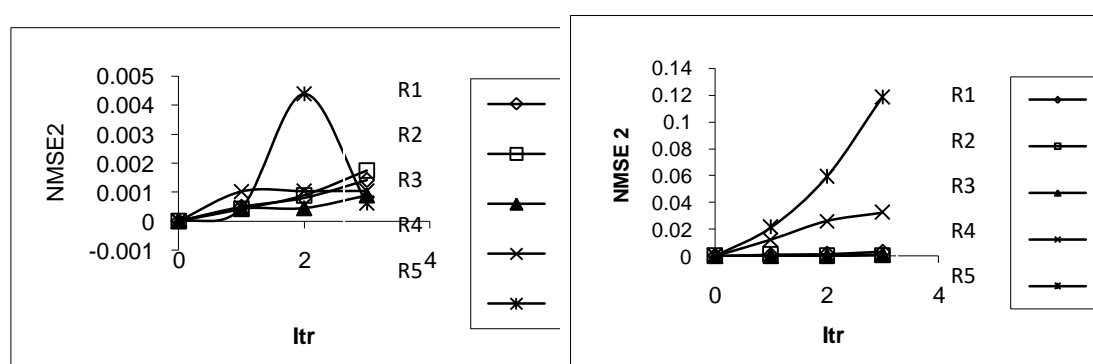
G noise =10

تابع للشكل (3)



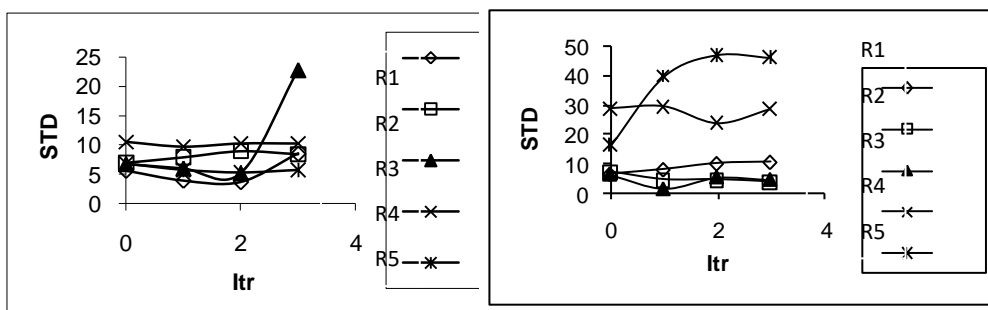
شكل (4)

العلاقة بين عدد تكرارات عملية التعميم(Itr) مع المعدل للمناطق المتGANSA المستقطعة من صورة الآثار و عظام ومخ الإنسان الأصليين. لأحجام نوافذ تعميم مختلفة 5\*5.



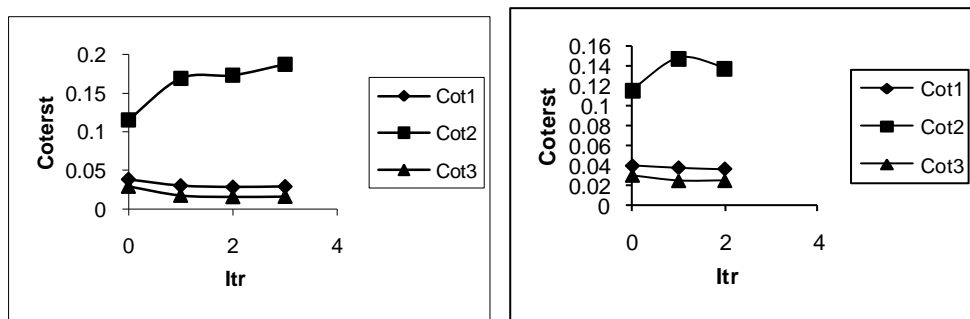
الشكل (5)

العلاقة بين عدد تكرارات عملية التعميم(Itr) مع NMSE2 للمناطق المتGANSA من صورة الآثار و عظام والمخ الإنسان. لأحجام نوافذ تعميم مختلفة 5\*5.



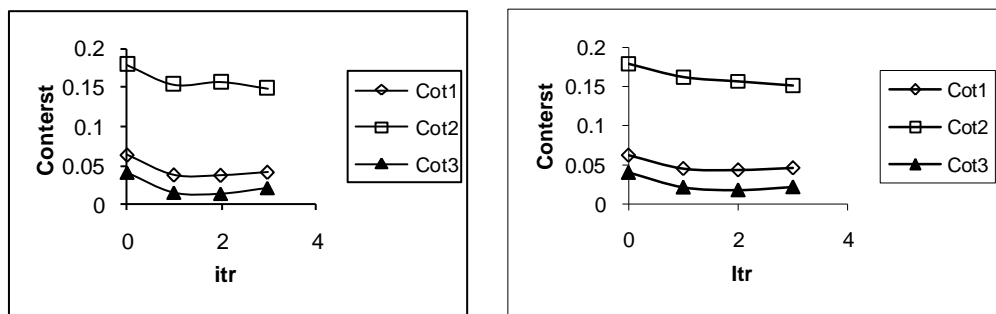
الشكل (6)

العلاقة بين عدد تكرارات عملية التعميم (Itr) مع STD إلى الضوضاء للمناطق المجاورة من صورة الآثار و عظام والمخ الإنسان الأصليين . ولإحجام نوافذ تعميم  $5 \times 5$ .



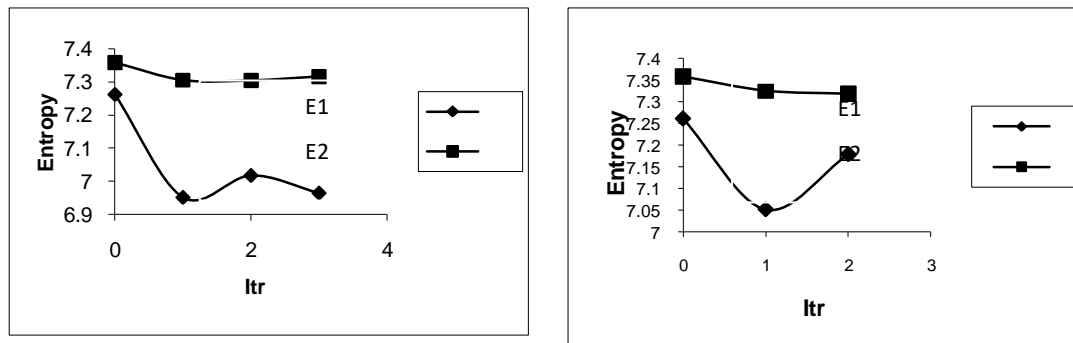
الشكل (7)

العلاقة بين عدد تكرارات عملية التعميم Itr مع التباينات لكل مستوى الصورة Cot1 وللمناطق الحافية Cot2 وللمناطق غير الحافية Cot3 لصورة الآثار . وباستخدام نوافذ  $(5 \times 5, 3 \times 3)$  .



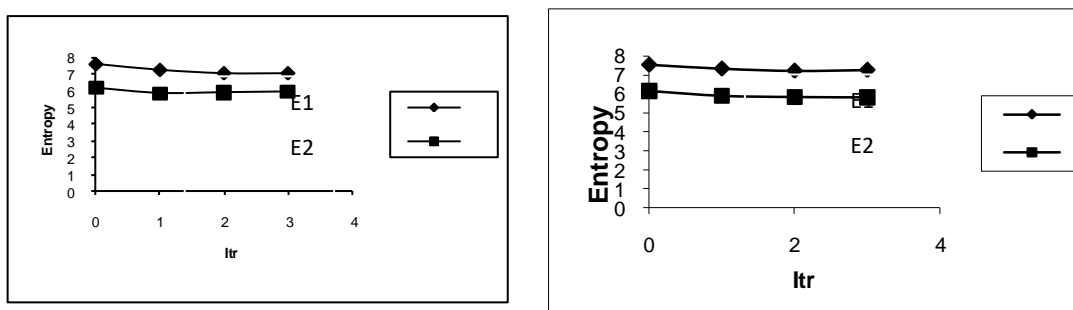
الشكل (8)

العلاقة بين عدد التكرارات عملية التعميم Itr مع التباينات لكل مستوى الصورة Cot1 وللمناطق الحافية Cot2 وللمناطق غير الحافية Cot3 لصورة العظام والمخ الإنسان .. وباستخدام نوافذ  $(5 \times 5, 3 \times 3)$  .



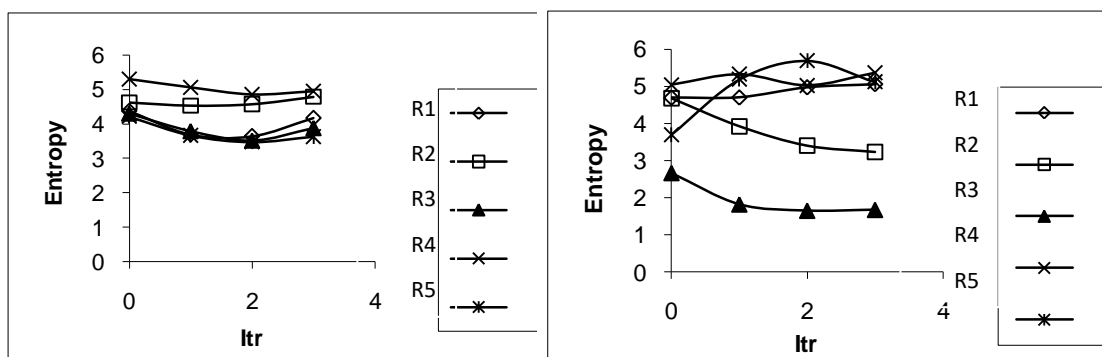
الشكل (9)

العلاقة بين عدد تكرارات عملية التعيم(Itr) مع الإنترولي للحافن لصورة الآثار كل .لأحجام نوافذ تعيم مختلفة (5\*5, 3\*3).



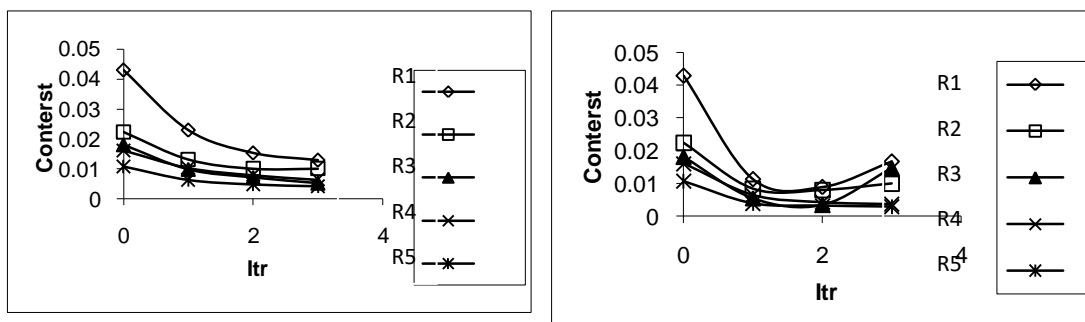
الشكل (10)

العلاقة بين عدد التكرارات عملية التعيم (Itr) مع لانتروبي لكل صورة العظام والمخ الإنسان لأحجام نوافذ التعيم مختلفة (5\*5 , 3\*3).



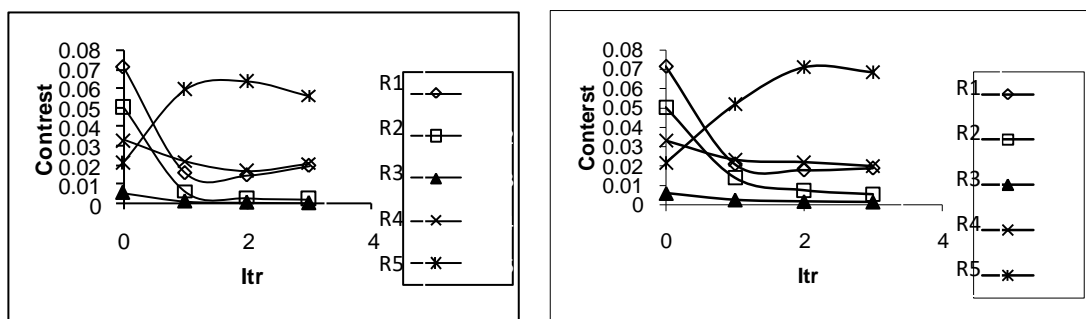
الشكل (11)

العلاقة بين عدد التكرارات عملية التعيم(Itr) مع الإنترولي الناطق المستقطع من صورة الآثار وعظام والمخ الإنسان.لأحجام نوافذ تعيم 5\*5 .



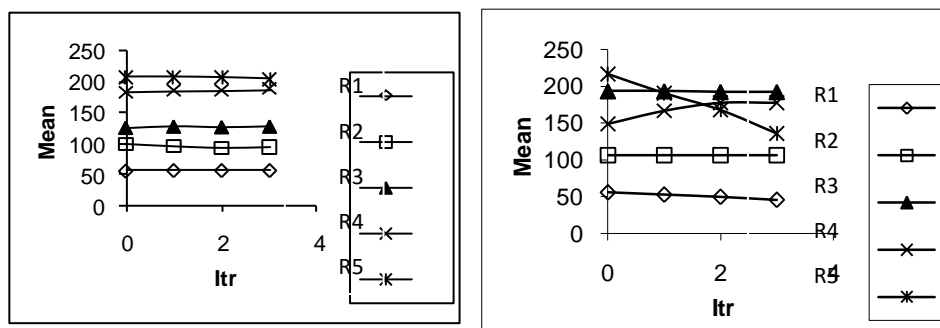
الشكل (12)

العلاقة بين عدد تكرارات عملية التعيم (Itr) مع التباين للمناطق المستقطعة من صورة الآثار لأحجام نوافذ تعيم مختلفة (5\*5, 3\*3).



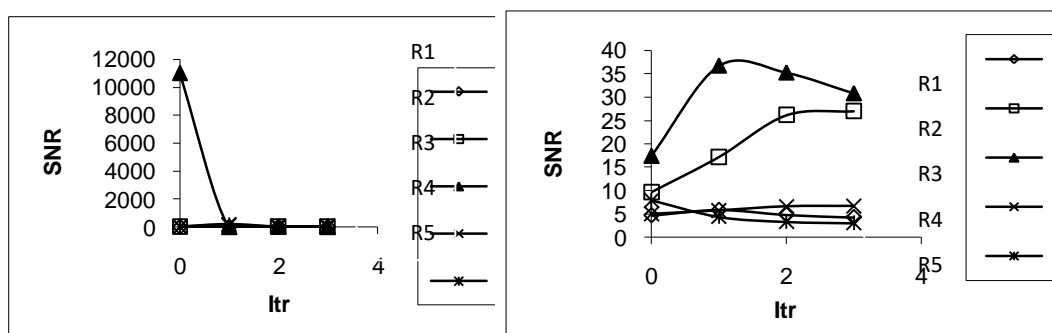
الشكل (13)

العلاقة بين عدد التكرارات عملية التعيم (Itr) مع التباين للمناطق المستقطعة لصورة العظام والمخ الإنسان لأنحاء نوافذ التعيم مختلفة (5\*5, 3\*3).



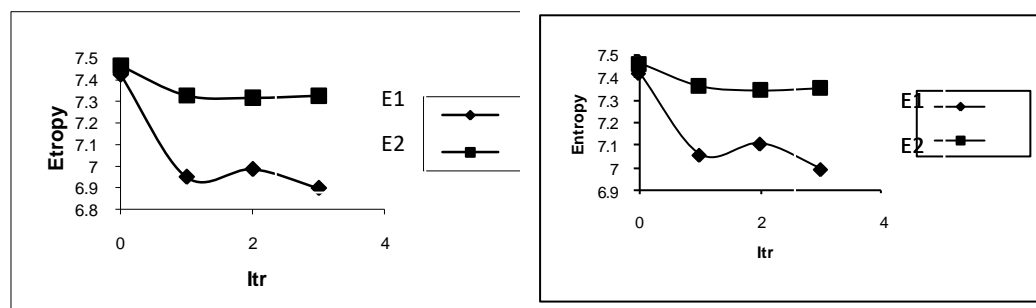
الشكل (14)

العلاقة بين عدد التكرارات عملية التعيم (Itr) مع معدل للمناطق المستقطعة لصورة الآثار المشوبة بالضوضاء الكلوسيّة ذات انحراف معياري  $\sigma=10$  لأنحاء نوافذ التعيم مختلفة (5\*5).



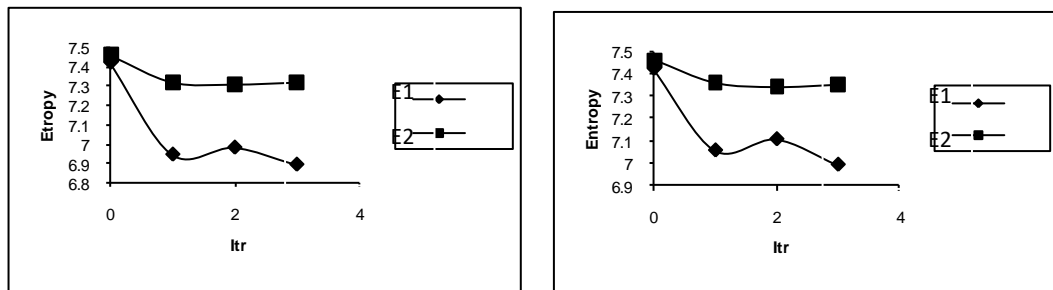
الشكل (15)

العلاقة بين عدد التكرارات عملية التعيم (Itr) مع نسبة الإشارة إلى الضوضاء لمناطق المستقطعة المتباينة لصورة الآثار المشوبة بالضوضاء الكاوسي ذات انحراف معياري  $\sigma = 10$  لأحجام نوافذ التعيم  $5 \times 5$ .



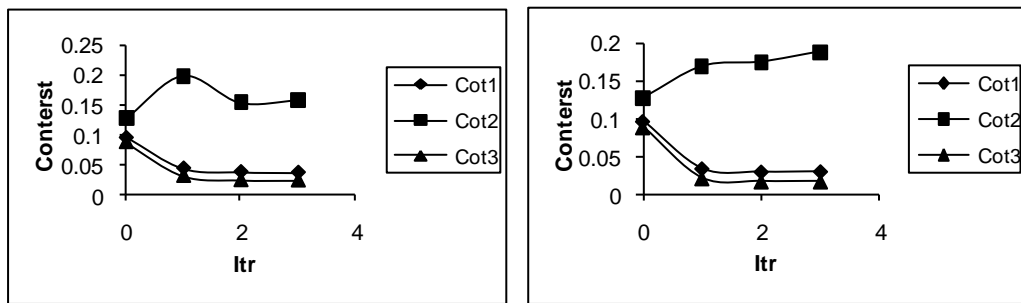
الشكل (16)

العلاقة بين عدد التكرارات عملية التعيم (Itr) مع الانترóبí لكل صورة الآثار المشوبة بالضوضاء الكاوسي ذات انحراف معياري  $\sigma = 10$  لأحجام نوافذ التعيم مختلفة ( $5 \times 5$ ,  $3 \times 3$ ).



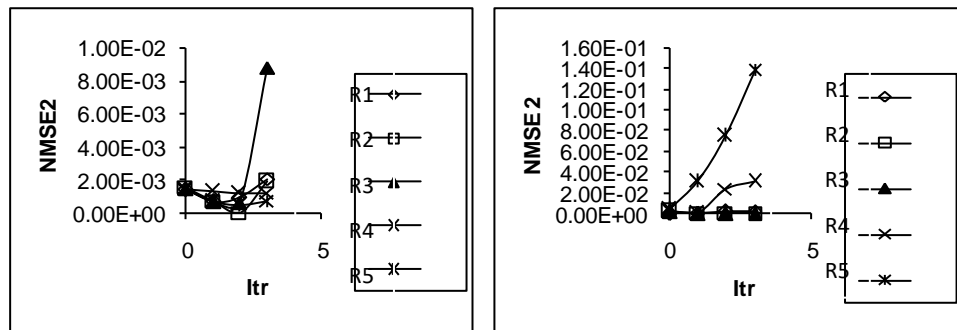
الشكل (17)

العلاقة بين عدد التكرارات عملية التعيم (Itr) مع الانترóبí لكل صورة العظام والمخ الإنسان المشوبة بالضوضاء ذات انحراف معياري  $\sigma = 10$  لأحجام نوافذ التعيم مختلفة ( $5 \times 5$ ,  $3 \times 3$ ).



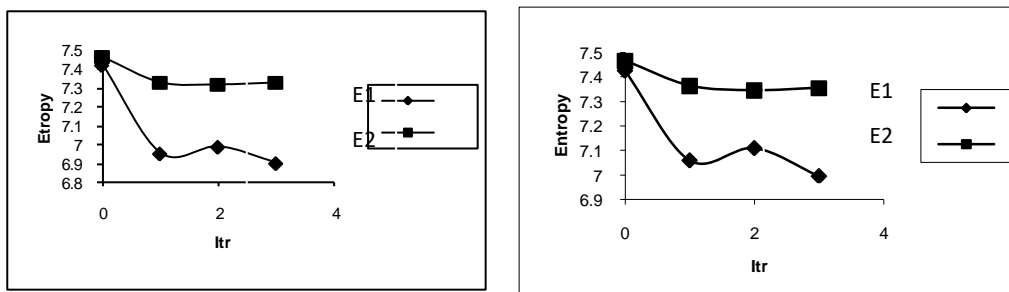
الشكل (18)

العلاقة بين عملية التعميم مع التباينات لكل مستوى الصورة Cot1 ولمناطق الحافية Cot2 ولمناطق غير الحافية Cot3 لصورة الآثار وعظام والمخ الإنسان المشوبتين بالضوبيات الكاوسيّة ذات انحراف معياري  $\sigma = 10$  لأحجام نوافذ التعميم مختلفة (5\*5).



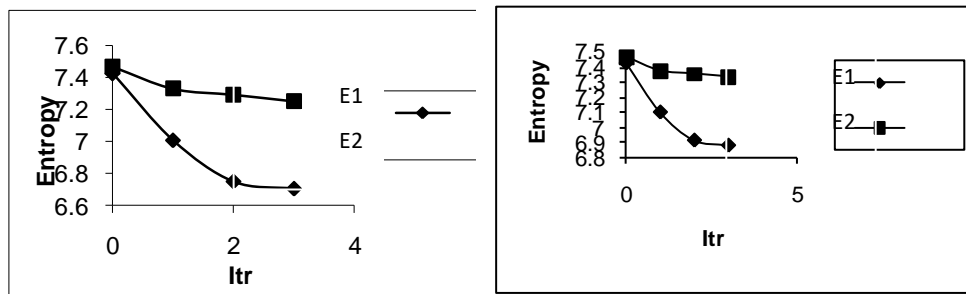
الشكل (19)

العلاقة بين عدد التكرارات عملية التعميم (Itr) مع المناطق المستقطعة لصورة الآثار وعظام والمخ الإنسان المشوبتين بالضوبيات الكاوسيّة ذات انحراف معياري  $\sigma = 10$  لأحجام نوافذ التعميم مختلفة (5\*5).



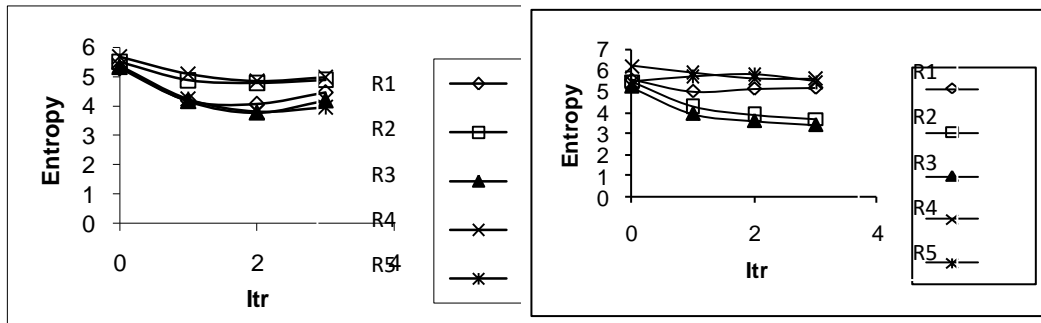
الشكل (20)

العلاقة بين عدد التكرارات عملية التعميم (Itr) مع الانتربي لكل صورة الآثار المشوبة بالضوبيات الكاوسيّة ذات انحراف معياري  $\sigma = 10$  لأحجام نوافذ التعميم مختلفة (5\*5, 3\*3).



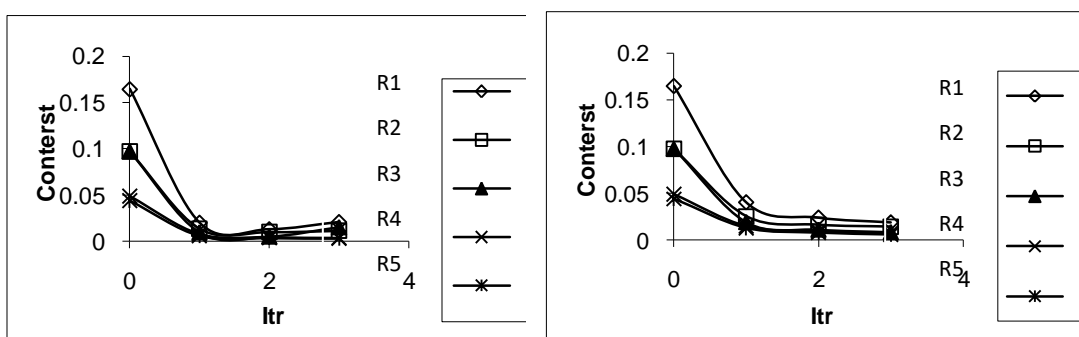
الشكل (21)

العلاقة بين عدد التكرارات عملية التعميم (Itr) مع الانتربي لكل صورة العظام والمخ الإنسان المشوبة بالضوبيات ذات انحراف معياري  $\sigma = 10$  لأحجام نوافذ التعميم مختلفة (5\*5, 3\*3).



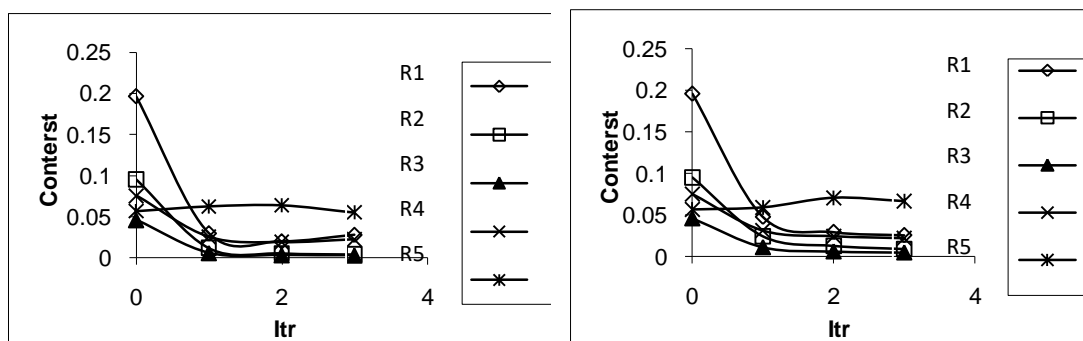
الشكل (22)

العلاقة بين عدد التكرارات عملية التعيم (Itr) مع انترولي المناطق المستقطعة المتجانسة لصورة الآثار المشوبة بالضوضاء الكاوسيّة ذات انحراف معياري  $\sigma = 10$  لأحجام نواذ التعيم مختلفة (5\*5).



الشكل (23)

العلاقة بين عدد التكرارات عملية التعيم (Itr) مع التباين للمناطق المستقطعة المتجانسة لصورة الآثار المشوبة بالضوضاء الكاوسيّة ذات انحراف معياري  $\sigma = 10$  لأحجام نواذ التعيم مختلفة (5\*5, 3\*3).



الشكل (24)

العلاقة بين عدد التكرارات عملية التعيم (Itr) مع التباين للمناطق المستقطعة المتجانسة لصورة العظام والمخ الانسان المشوبة بالضوضاء الكاوسيّة ذات انحراف معياري  $\sigma = 10$  لأحجام نواذ التعيم مختلفة (5\*5, 3\*3).

## **Reference**

- 1 Huda Shawki Khlil AL-Ghrabi, "Quantum analysis of noise in Photonic system", M.Sc. Thesis, physics Dept, College of Education for Woman, Baghdad University, (2001).
- 2 S.J.Sang wine and R.W.Novne, "The colour Image processing Hang. Book, ch apman and Hall, (1998).
- 3 R.C.Gonzalez and P.Wintz, "Digital Image processing", Addison wesly, (1992).
- 4 W.Niblak, "An introduction to Digital Image processing", Stranclberg publishing company. 3460 Binkeroad, Den mark, Prentice – Hall, Inc, (1987).
- 5 Nowak, R.D., "Wavelet – Domain filtering for photo Image systems", LEEE Transactions on Image processing, (1997).
- 6 Digital Image processing Documentation- [http://documents.Wolfrom.com/applications/digital image / users Guide /7-3.htm](http://documents.Wolfrom.com/applications/digital%20image%20users%20Guide/7-3.htm).
- 7 Ali abid Dawood Al-Zukiy, "Quantum analysis of synthetic aperture radar (SAR) images". Ph.D.Thesis, collage of science, Baghdad Univ., (1998).
- 8 Elham J. Mohammed ;"Digital filter for speckle noise reduction ",M. SC. Thesis.phusics Dept.,college of science, Al-Mustansiriya Univ.,(2001)
- 9 Suha Hussein Ibraheem Al-A,Adamy. "Ultrasonic", Ultrasonic Report, physics Dept., College of Science, Al-Mustansiriya Univ, (2002).